

## 球体に作用する重複波による波力の二、三の特性

名古屋大学大学院 学生員 ○水谷 法美  
 名古屋大学工学部 正員 岩田好一郎  
 名古屋大学大学院 学生員 藤西 信三

1. はじめに；構造物に作用する波力の研究のうち、円柱を対象としたものは、非常に多くの研究者によつて行なわれてゐる。しかし、球体に作用する波力の研究は非常に少く、その成果は、円柱に比べ、十分ではない。著者らは、進行波中にあひれて球体に作用する波力の特性について検討した。しかし、進行波は、流速が二成分であるため、現象が複雑である。そこで、流速が一成分となる完全重複波の節の位置、腹の位置での波力の特性を明らかにすることは、進行波による波力を検討する上で重要なことを考えられる。本報では、重複波の節および腹の位置に着目して球体に作用する波力の特性を、水理実験で検討したもので、その結果の一端を報告する。

2. 水理実験；実験は、名古屋大学工学部土木工学科教室の室内鋼製二次元造波水槽( $25m \times 0.9m \times 0.8m$ )で行なわれた。静水深( $h$ )は $56cm$ である。発生波は、周期 $T$ が $1.0$ 秒と $1.45$ 秒の規則波で、球の設置位置を、静水面下 $5cm, 10cm, 20cm, 40cm$ の4種類変化させた。各 $T$ - $s$ に対し、波高 $H$ を2種類( $2.7cm \sim 5.1cm$ )変化させた。全ての $T-s$ で、水位、水平(2)方向、鉛直(3)方向の流速( $u, w$ )と波力( $F_x, F_z$ )を測定した。使用した球は、直径が $6.35cm$ の合成樹脂製であり、Cantileverによりモーメントより力と並算した。

3. 解析方法；実験で得られた水位、流速、波力の時間

波形を、 $\alpha$ を sampling time  $\Delta t = 0.05$ 秒で離散化し、無次元最大波力( $F_{xm}/\rho u_m^2 D^2$ ,  $F_{zm}/\rho w_m^2 D^2$ , ここで、 $\rho$ :水の密度、 $D$ :球の直径)、添字 $m$ は最大値を示すなどの無次元量を計算した。また、実測の流速は、3次の有限振幅波理論の流速とよく合つたので、解析には、3次の有限振幅波理論の流速を用いた。また、Morison式中の流体力係数を最小自乗法により計算した。すなはち、式(1)、(2)で計算される波力の時間波形が、実測の波力の時間波形に最もよく合うように、流体力係数を決定した。

$$F_x = \frac{1}{8} C_D \rho \pi D^2 u |u| + \frac{1}{6} C_M \rho \pi D^3 \frac{du}{dt} \quad (1)$$

$$F_z = \frac{1}{8} C_D \rho \pi D^2 w |w| + \frac{1}{6} C_M \rho \pi D^3 \frac{dw}{dt} \quad (2)$$

ここで、 $C_D, C_M$ は抵抗力係数、 $C_M$ は慣性力係数である。また、本報では、節の位置での $F_x$ 、腹の位置での $F_z$ のみを対象とし、揚力は扱わなかった。

4. 実験結果及び考察；(1)無次元最大波力 図-1に無次元最大波力とK.C数( $u_m T / D, w_m T / D$ )の関係を示す。同図より、

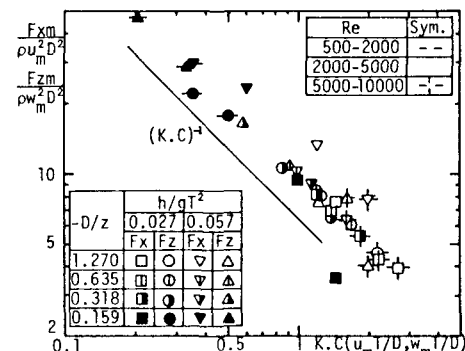


図-1 無次元最大波力とK.C数の関係

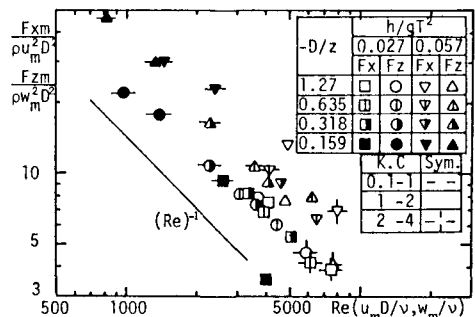


図-2 無次元最大波力とRe数の関係

無次元最大波力は、 $h/gT^2 \cdot \sqrt{2}$  ( $g$ : 重力加速度) に関係なく、(K.C)<sup>1</sup> に比例して減少する傾向が認められる。球表面の圧力を、球のない場合の波動圧で近似し、球表面上にて、Z、E の X、Y 方向成分を積分して E 値にフリコも、同様の傾向が認められる。また、その値は実験値より少しひくひく、E も、実験値との比は、ほぼ慣性力係数に等しいことが確認できむ。このことは、今回の実験範囲内では、波力より慣性力が卓越して E ことを示す結果であると言えよう。また、図-2 は無次元最大波力と Re 数 ( $U_m D / \nu$ ,  $U_m$ : 水の動粘性係数) の関係を示す。図より、無次元最大波力は、図-1 と同様に、ほぼ  $(Re)^{-1}$  に比例して減少する傾向が認められる。しかし、図-1 と異なり、図-2 では  $h/gT^2$  が大きくなる無次元最大波力は大きくなる傾向が認められる。今回の実験は、球径が一種類であるため、同一の Re 数に対し E、 $h/gT^2$  が大きければ、K.C 数は小さくなる。したがって、E、K.C 数の結果は、同じ Re 数の値に対し E、K.C 数が小さくなる。無次元最大波力は大きくなることを示す傾向があると考えられる。また、今回の実験範囲内では、これらの値は、進行波によらず得られた E 値とはほぼ同じであることが認められる。

(2) 流体力学 図-3 は、波力係数  $C_{DX}$ 、 $C_{DZ}$  と K.C 数の関係を示す。図より、波力係数は、無次元最大波力と同様に、K.C 数の増加に伴い減少する傾向が認められる。しかし、 $C_{DZ}$  に比べ、 $C_{DX}$  が大きくなる傾向が認められるが、この原因については不明である。また図-4 は、波力係数と Re 数の関係を示す。波力係数は、Re 数の増加に伴い減少することが同図より認められる。さらに、 $C_{DX}$ 、 $C_{DZ}$  と K.C 数の関係と同様に、Re 数の値に対しても、K.C 数が小さくなるほど波力係数は下りくなること認められる。Re 数の増加に伴う波力係数の減少割合は、実験値が少しく明瞭ではないが、Re 数が小なり領域 ( $Re < 2000 \sim 3000$ ) では、それより大きい領域に比べ、大きめよう見える。これは Re 数が小なり領域では、水の粘性の影響が大きくなることを考えられる。一方、図-5 は慣性力係数  $C_{MX}$ 、 $C_{MZ}$  と K.C 数の関係を示すが、図より、慣性力係数は ポテンシャル理論によるものと多少大きくなるものの、K.C 数の変化によらずほぼ一定値をとるようである。また、この傾向は、Re 数に対しても同様であり、Re 数の変化に伴う慣性力係数の変化は認められなかつた。

5. あとがき 以上、限られた実験範囲内ではあるが、重複波の節と腹の位置に置かれた球体に作用する波力の特性について述べてきた。今後、更に広範囲の実験を行なう、検討を加えると同時に、揚力の特性についても検討していく所存である。

参考文献 ①岩田・水谷 第40回年次講演会概要集, 1985, pp.547-548

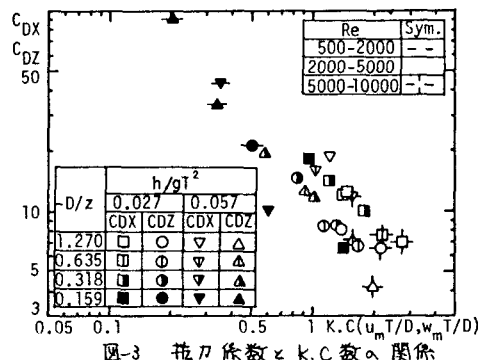


図-3 波力係数と K.C 数の関係

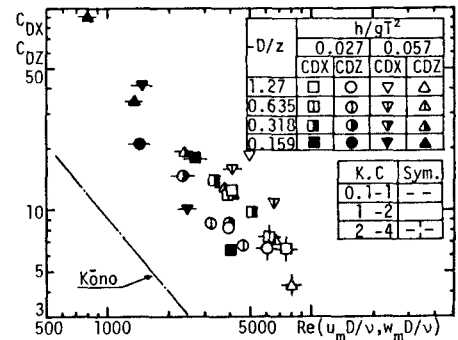


図-4 波力係数と Re 数の関係

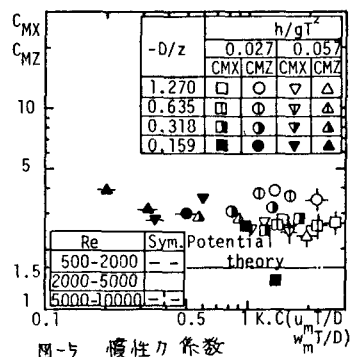


図-5 慣性力係数と K.C 数の関係